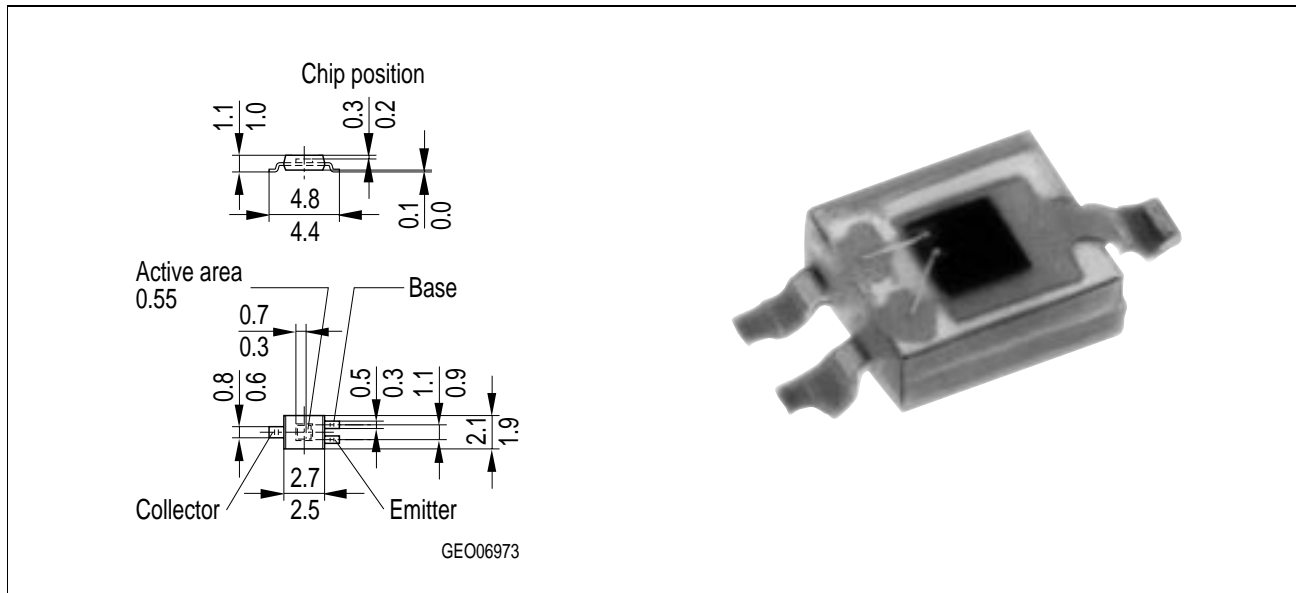


NPN-Silizium-Fototransistor Silicon NPN Phototransistor

SFH 3401



Maße in mm, wenn nicht anders angegeben/Dimensions in mm, unless otherwise specified.

Wesentliche Merkmale

- Speziell geeignet für Anwendungen im Bereich von 460 nm bis 1080 nm
- Hohe Linearität
- SMT-Bauform mit Basisanschluß, geeignet für Vapor Phase-Löten und IR-Reflow-Löten (JEDEC level 4)
- Nur gegurtet lieferbar

Features

- Especially suitable for applications from 460 nm to 1080 nm
- High linearity
- SMT package with base connection, suitable for vapor phase and IR reflow soldering (JEDEC level 4)
- Available only on tape and reel

Anwendungen

- Umgebungslicht-Detektor
- Lichtschranken für Gleich- und Wechsellichtbetrieb
- Industrieelektronik
- „Messen/Steuern/Regeln“

Applications

- Ambient light detector
- Photointerrupters
- Industrial electronics
- For control and drive circuits

| Typ Type | Bestellnummer Ordering Code | Gehäuse Package |
|---------------------|--|---|
| SFH 3401 | Q62702-P5014 | Klares Epoxy-Gießharz, Kollektorkennzeichnung: breiter Anschluß Transparent epoxy resin, collector marking: broad lead |

Grenzwerte**Maximum Ratings**

| Bezeichnung Description | Symbol Symbol | Wert Value | Einheit Unit |
|--|--------------------------|-----------------------|-------------------------|
| Betriebs- und Lagertemperatur Operating and storage temperature range | $T_{op}; T_{stg}$ | - 40 ... + 85 | °C |
| Kollektor-Emitterspannung Collector-emitter voltage | V_{CE} | 20 | V |
| Kollektor-Emitterspannung, $t < 120$ s Collector-emitter voltage | V_{CE} | 70 | V |
| Kollektorstrom Collector current | I_C | 50 | mA |
| Kollektorspitzenstrom, $\tau < 10$ µs Collector surge current | I_{CS} | 100 | mA |
| Emitter-Kollektorspannung Emitter-collector voltage | V_{EC} | 7 | V |
| Verlustleistung, $T_A = 25$ °C Total power dissipation | P_{tot} | 120 | mW |
| Wärmewiderstand für Montage auf PC-Board Thermal resistance for mounting on pcb | R_{thJA} | 450 | K/W |

Kennwerte ($T_A = 25^\circ\text{C}$, $\lambda = 950 \text{ nm}$)

Characteristics

| Bezeichnung Description | Symbol Symbol | Wert Value | Einheit Unit |
|--|------------------------------|-----------------------|--------------------------------|
| Wellenlänge der max. Fotoempfindlichkeit Wavelength of max. sensitivity | $\lambda_{S \max}$ | 850 | nm |
| Spektraler Bereich der Fotoempfindlichkeit $S = 10\%$ von S_{\max} Spectral range of sensitivity $S = 10\%$ of S_{\max} | λ | 460 ... 1080 | nm |
| Bestrahlungsempfindliche Fläche Radiant sensitive area | A | 0.55 | mm^2 |
| Abmessung der Chipfläche Dimensions of chip area | $L \times B$ $L \times W$ | 1 x 1 | $\text{mm} \times \text{mm}$ |
| Abstand Chipoberfläche zu Gehäuseoberfläche Distance chip front to case surface | H | 0.2 ... 0.3 | mm |
| Halbwinkel Half angle | ϕ | ± 60 | Grad deg. |
| Kapazität, $V_{CE} = 0 \text{ V}$, $f = 1 \text{ MHz}$, $E = 0$ Capacitance | C_{CE} | 15 | pF |
| Kapazität, $V_{CB} = 0 \text{ V}$, $f = 1 \text{ MHz}$, $E = 0$ Capacitance | C_{CB} | 45 | pF |
| Kapazität, $V_{EB} = 0 \text{ V}$, $f = 1 \text{ MHz}$, $E = 0$ Capacitance | C_{EB} | 19 | pF |
| Dunkelstrom Dark current $V_{CE} = 10 \text{ V}$, $E = 0$ | I_{CEO} | 10 (≤ 200) | nA |
| Fotostrom der Kollektor-Basis Fotodiode Photocurrent of collector-base photodiode $E_e = 0.1 \text{ mW/cm}^2$, $V_{CB} = 5 \text{ V}$ $E_v = 1000 \text{ lx}$, Normlicht/standard light A, $V_{CB} = 5 \text{ V}$ | I_{PCB} I_{PCB} | 0.28 4.8 | μA μA |

Die Fototransistoren werden nach ihrer Fotoempfindlichkeit gruppiert und mit arabischen Ziffern gekennzeichnet.

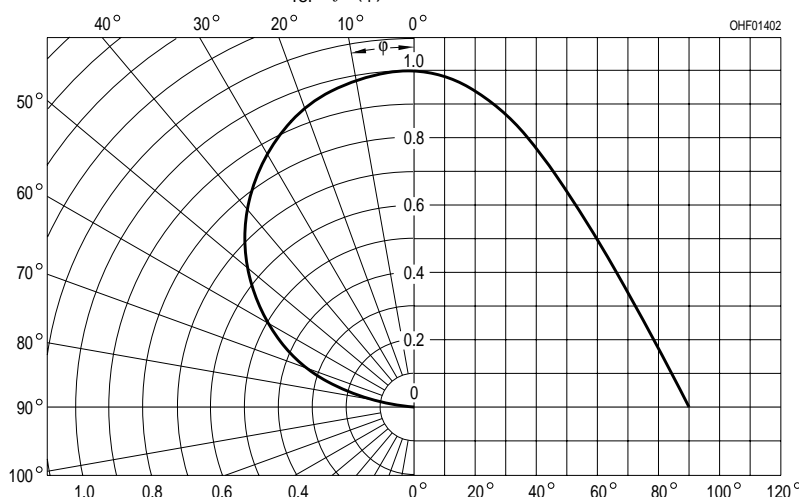
The phototransistors are grouped according to their spectral sensitivity and distinguished by arabian figures.

| Bezeichnung Description | Symbol Symbol | Wert Value | | | Einheit Unit |
|--|---------------------------|---------------|-------------|-------------|-----------------|
| | | -1 | -2 | -3 | |
| Fotostrom, $\lambda = 950 \text{ nm}$ Photocurrent $E_e = 0.1 \text{ mW/cm}^2, V_{CE} = 5 \text{ V}$ $E_v = 1000 \text{ lx, Normlicht/standard light A, } V_{CE} = 5 \text{ V}$ | I_{PCE} | 63 ... 125 | 100 ... 200 | 160 ... 320 | μA |
| Anstiegszeit/Abfallzeit Rise and fall time $I_C = 1 \text{ mA}, V_{CC} = 5 \text{ V}, R_L = 1 \text{ k}\Omega$ | t_r, t_f | 10 | 12 | 14 | μs |
| Kollektor-Emitter-Sättigungsspannung Collector-emitter saturation voltage $I_C = I_{PCEmin}^{1)} \times 0.3,$ $E_e = 0.1 \text{ mW/cm}^2$ | V_{CEsat} | 170 | 170 | 170 | mV |
| Stromverstärkung Current gain $E_e = 0.1 \text{ mW/cm}^2, V_{CE} = 5 \text{ V}$ | $\frac{I_{PCE}}{I_{PCB}}$ | 340 | 530 | 860 | |

1) I_{PCEmin} ist der minimale Fotostrom der jeweiligen Gruppe

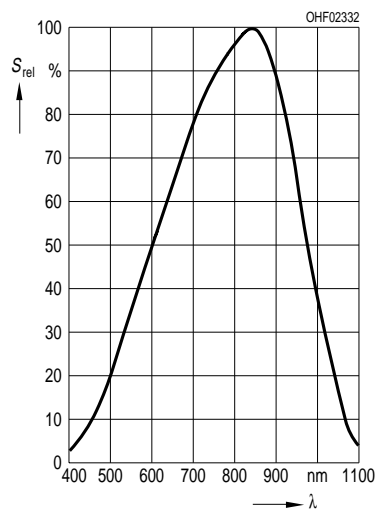
1) I_{PCEmin} is the min. photocurrent of the specified group

Directional characteristics $S_{rel} = f(\phi)$

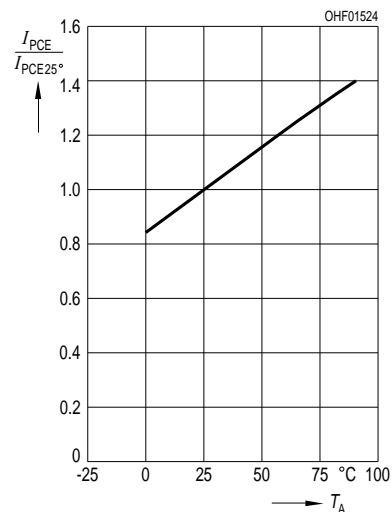


$T_A = 25^\circ\text{C}$, $\lambda = 950 \text{ nm}$

Rel.spectral sensitivity $S_{\text{rel}} = f(\lambda)$

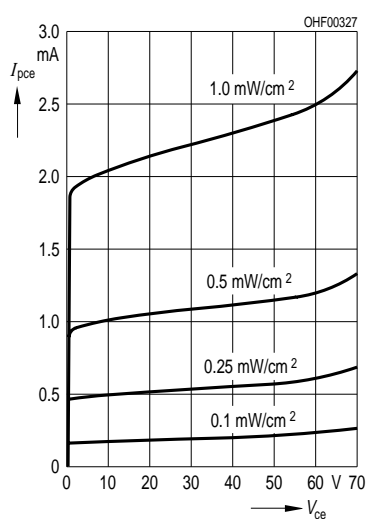


Photocurrent $I_{\text{PCE}} = f(T_A)$,
 $V_{\text{CE}} = 5 \text{ V}$, normalized to 25°C

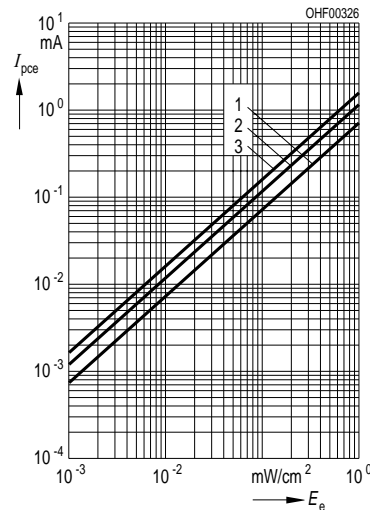


Photocurrent $I_{\text{PCE}} = f(V_{\text{CE}})$

SFH 3401-3

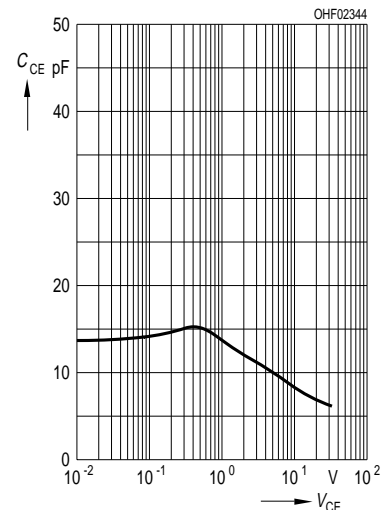


Photocurrent $I_{\text{PCE}} = f(E_e)$, $V_{\text{CE}} = 5 \text{ V}$



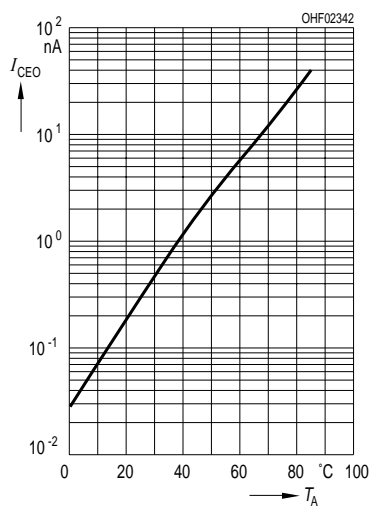
Collector-emitter capacitance

$C_{\text{CE}} = f(V_{\text{CE}})$, $f = 1 \text{ MHz}$, $E = 0$



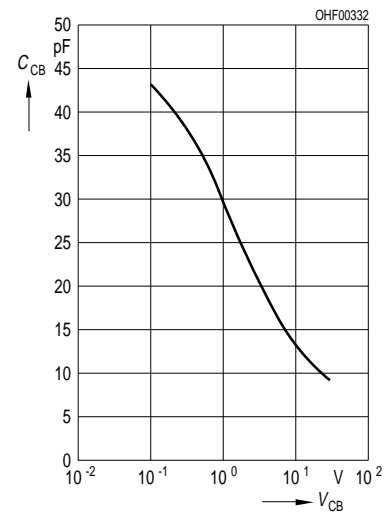
Dark current

$I_{\text{CEO}} = f(T_A)$, $V_{\text{CE}} = 10 \text{ V}$, $E = 0$

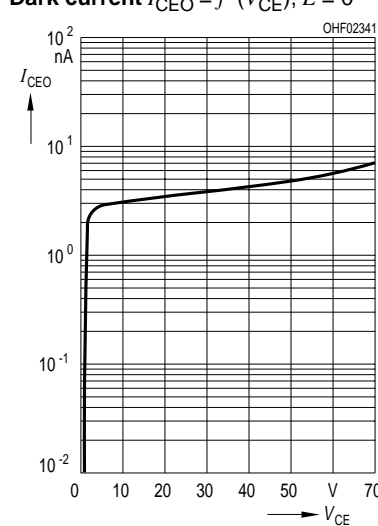


Collector-base capacitance

$C_{\text{CB}} = f(V_{\text{CB}})$, $f = 1 \text{ MHz}$, $E = 0$

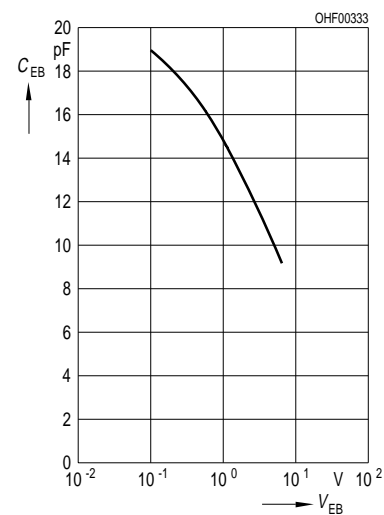


Dark current $I_{\text{CEO}} = f(V_{\text{CE}})$, $E = 0$



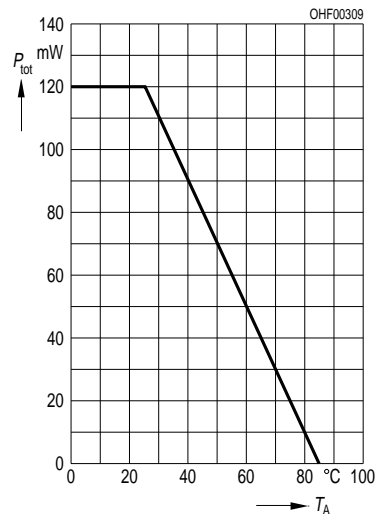
Emitter-base capacitance

$C_{\text{EB}} = f(V_{\text{EB}})$, $f = 1 \text{ MHz}$, $E = 0$



Total power dissipation

$$P_{\text{tot}} = f(T_A)$$

**Photocurrent** $I_{\text{PCE}} = f(V_{\text{CE}})$, I_B = Parameter